УДК 547.42 + 541.632 + 541.49

ХИМИЯ

Е. Г. РУХАДЗЕ, Г. П. ТАЛЫЗЕНКОВА, Ю. А. МАЛЕТИН

ОПТИЧЕСКИ АКТИВНЫЕ ХЕЛАТНЫЕ СОЕДИНЕНИЯ С НЕРАВНОПАРНЫМИ ЛИГАНДАМИ

(Представлено академиком А. Н. Несмеяновым 5 VII 1971)

Целью данной работы была разработка метода выделения о.а. хелатов меди, никеля, кобальта с двумя различными бидентатными лигандами. Для хелатов химическая связь металл — лиганд носит в значительной степени ковалентный характер (1). Очевидно, в хелатах с неравнопарными лигандами (2) направленность связей центрального атома, а также размеры лигандов и направленность их связей будет иметь существенное значение. Пространственная и энергетическая неравноценность координационных мест в комплексе с большой долей ковалентных связей может привести как к облегчению, так и к затруднению при образовании хелатного узла. В последнем случае может оказаться термодинамически выгодным диспропорционирование хелата на два равнопарных хелата. Вероятно, это должно зависеть от природы металла и лиганда. Так, нами (2) было показано, что выделить медный хелат с перавнопарными лигандами, имеющими малые различия в структурно-химическом отношении, не удается. В настоящей работе мы осуществили синтез хелатов, отличающихся по хелатному узлу и по числу атомов в металлоциклах. Были получены соединения Cu(II), Ni(II), Co(II) двух типов: комплексы со смешанным три-(окса)аза-хелатным узлом (I) и комплексы с бис-(аза-окса)-хелатным узлом (II). Лиганды L1, L2, L3 в обоих случаях образуют 6- и 5-членные металлоциклы. Оптическая активность (о.а.) комплексов обусловлена ароматическими аминокислотами L- или D- β -фенилаланином, (L Ia и D Ia $\hat{}$, D-тирозином (Іб), L-триптофаном (Ів) и основанием Шиффа, полученным из этилового эфира (+)-lpha-фенил-lpha-аминопропионовой кислоты и 5-хлорсалицилового альдегида $(^3)$.

LiaCu; DiaCu; LiaNi; DiaNi; DiaCo; Di6Cu; LibCu; LibNi; LiibCo; LibCo

Синтез хелатов осуществляли нагреванием до $50-60^{\circ}$ кислого водно-спиртового раствора, содержащего металл, L_{1} и L_{2} в соотношениях 1:1:1, с последующим добавлением раствора едкого натра при энергичном перемешивании током азота до рН выделения соответствующего хелатного соединения. Выделенные в твердом виде хелаты — однородные порошки, цвет которых отличается от соответствующих хелатов с равнопарными лигандами

 $L_{\scriptscriptstyle 1}$ — салициловым альдегидом и $L_{\scriptscriptstyle 3}$ — основанием Шиффа. Данные элементного апализа показывают, что комплексы отвечают составу $M\left[L_{\scriptscriptstyle 1}\cdot L_{\scriptscriptstyle 2}\right]$ и

M[L₂ · L₃]. Хорошо растворяются в диметилсульфоксиде (ДМСО) и диметилформамиде (ДМФА). В и.-к. спектрах частота валентных колебаний N — Н-групп и асимметрических валентных колебаний карбоксильной группы сдвинуты примерно на 10—15 см⁻¹ от их положения по сравнению с и.-к. спектрами соответствующих бис-(аминокислотных)-хелатов меди, что согласуется с данными (4). Однако столь незначительное смещение частоты колебаний не может, на наш взгляд, служить убедительным доказательством неравнопарности хелатов. Окончательный вывод об образовании неравнопарных хелатов М (L₁L₂) или молекулярных кристаллов типа $M(L_1L_1)$. $\cdot M(L_2L_2)$ можно сделать лишь после полного рентгеноструктурного анализа. Между тем дифрактометрический метод * показал, что углы отражения, межплоскостные расстояния и наблюдаемые интенсивности дифракционных лучей выделенных хелатов, для которых предполагалась неравнопарность, отличаются от соответствующих равнопарных. Так, например, если бис-(са-

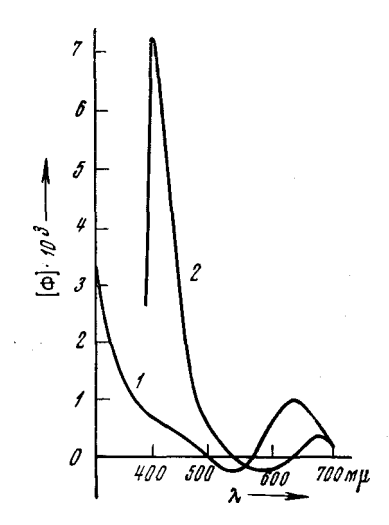


Рис. 1. Кривые д.о.в. хелатов меди в диметилсульфоксиде. 1 — бис-(D- β -фенилаланинат)-меди (II), 2 — салицилал-(D- β -фенилаланинат)-меди

лицилал)-медь и бис- (аминокислотный)-хелат меди показывают достаточно интенсивные дифракционные лучи, у хелатов Cu(LIa) и Cu(DIa) они не обнаруживаются. Углы отражения и интенсивности дифракционных лучей хелатов, включающих оптические антиподы, совпадают. У соединений никеля неравнопарные хелаты характеризуются большей интенсивностью дифракционных лучей, чем соответствующие равнопарные хелаты никеля. Для доказательства неравнопарности и для исследования свойств выделенных хелатов в растворах был применен метод спектрополяриметрии.

Кривые дисперсии оптического вращения (д.о.в.) сняты на автоматическом спектрополяриметре ORD — CD/uv-5 фирмы «Jasco» в токе сухого азота в термостатированных кюветах и рассчитаны по обычным формулам (5). Качественное рассмотрение д.о.в. показывает значительное различие между равнопарными и неравнопарными хелатами. Так, для равнопарных хелатов меди со всеми исследуемыми аминокислотами в растворе ДМСО наблюдается эффект Коттона (Э.К.) при 620 мм. Отметим, что обычно д.о.в. бис-(аминокислотных)-хелатов меди измеряли в воде или водно-спиртовых растворах (6). Влияния ДМСО на d-d-переходы мы не наблюдали (рис. 1). Эффект Коттона переходов с переносом заряда (п.п.з.) типа $L \rightarrow$ → M, которые для хелатов меди с аминокислотами лежат в области 250— 280 мµ мы не смогли наблюдать из-за сильного поглощения растворителя. Однако на возможное присутствие Э.К. в этой области указывает сильное увеличение молекулярного вращения и наличие плеча в электронных спектрах поглощения равнопарных комплексов в области 260 мµ. Следует особо отметить, что Э.К. у бис-(L-триптофаната)-меди наблюдается в области 290 м μ и минимум этого Э.К. лежит при $[\Phi]_{325}^{20}$ — 1720°. Это различие вызвано, очевидно, введением нового хромофора — индольного кольца.

Для неравнопарных хелатов меди Э.К. d-d-переходов смещается в область 650 м μ и молекулярные амилитуды Э.К. уменьшаются по сравнению

^{*} Съемку образцов на дифрактометре УРС-50И проводили для медного излучения $\mathrm{Cu}K_{\infty}$ с применением Ni-фильтра. Авторы выражают благодарность В. С. Исалидасу за помощь и советы при выполнении этой работы.

с молекулярными амплитудами соответствующих равнопарных хелатов с аминокислотами от 1300 до 650°, что вполне согласуется с данными Веллмана (7). Молекулярная амплитуда Э.К. d-d-переходов Cu(DIб) имеет

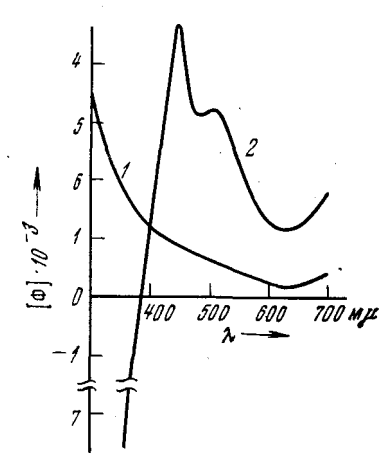


Рис. 2. Кривые д.о.в. хелатов никеля в диметилформамиде. 1 — бис-(D- β -фенилаланинат) - никеля (II), 2 — салицилал-(D- β -фенилаланинат) - никеля

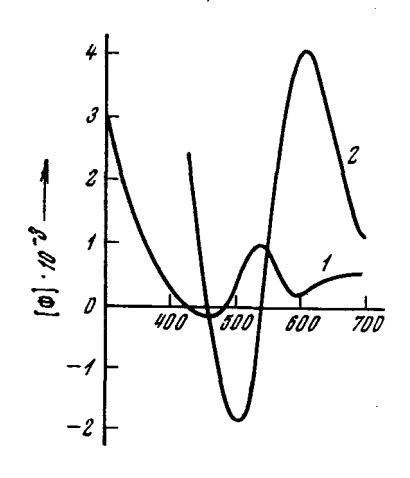


Рис. 3. Кривые д.о.в. хелатов кобальта в диметилформамиде. I — бис-(D- β -фенилаланинат) - кобальта (II), 2 — салицилал-(D- β -фенилаланинат)-кобальта (II)

несколько иное значение. К сожалению, точную оценку этой амплитуды мы привести не можем, так как максимум кривой л.о.в. лежит за пределами возможностей прибора, однако из рассмотрения д.о.в. видно, что молекулярная амплитуда Э.К. неравнопарного хелата не меньше амплитуды бис-(Д-тирозината)-меди. увеличение Э.К., вероятно, Аномальное обусловлено наличием межмолекулярных связей за счет гидроксильной группы $ar{D}$ -тирозина. Замечателен факт, что эффект Коттона п.п.з. неравнопарных хелатов смещен в область 370 мµ и первый длинноволновый экстремум этого Э.К. для IaCu и Ia'Cu находится при 400 мµ [Φ] $\sim 7000^{\circ}$. Для DІб также проявляется аномально высокое вращение $[\Phi]_{400}^{20} + 14\,000^{\circ}$. Таким образом в этих хелатах индуцируются п.п.з., свойстбис-(салицилал)-хелатам Только в соединениях, имеющих строение

может реализоваться наблюдаемая ситуация, и атом меди является тем «мостиком», который осуществляет перекачку электронов, и поэтому наблюдаем столь большие эффекты Коттона п.п.з. Это служит еще одним убедительным доказательством наличия в растворе молекул с неравнопарными лигандами (8).

Для хелатов никеля также наблюдается различие в кривых д.о.в. между хелатами с равнопарными и неравнопарными лигандами, однако полная интерпретация д.о.в. осложнена в этом случае наложением полос d-d-переходов и п.п.з. Для соединения LIaNi четко проявляется 4 экстрему-

ма: $[\Phi]_{638}^{230} - 600^\circ$, $[\Phi]_{508} - 2800^\circ$, $[\Phi]_{478} - 2500^\circ$ и $[\Phi]_{428} - 4200^\circ$. Величины молекулярного вращения для антипода DIaNi несколько больше по абсолютному значению. Хелат LIbNi имеет аналогичную кривую д.о.в., но углы вращения больше по абсолютной величине: $[\Phi]_{638} - 1160^\circ$, $[\Phi]_{502} - 3700^\circ$, $[\Phi]_{478} - 3600^\circ$ и $[\Phi]_{428} - 5600^\circ$ (рис. 2). У хелатов кобальта мы наблюдаем полное наложение полос различных переходов, однако качественное различие и в этом случае проявляется между хелатами с неравнопарными и равнопарными лигандами (рис. 3). Д.о.в. хелатов кобальта имеют схожий между собой вид. Экстремумы для LIaCo $[\Phi]_{506}^{0} + 4100^\circ$ и $[\Phi]_{506}^{20} - 1850^\circ$. Для LIbCo $[\Phi]_{616}^{00} - 3460^\circ$ и $[\Phi]_{510}^{610} + 1200^\circ$. До сих пор рассматривались хелаты, о. а. которых обусловлена вицинальным вкла-

дом асимметрического атома углерода одного лиганда — аминокислоты.

Интересно было сравнить вклад в оптическую активность, вносимый вторым лигандом в неравнопарном хелате. С этой целью нами были получены хелаты типа II с рацемическим и оптически активным L₃. Кривая д.о.в.

бис - (N - α - этоксикарбонил) -α-(фенилэтил) - (-5хлор-салицилалимин)-кобальта Со(L₃)₂ лежит в отрицательной области и имеет два хорошо выраженных экстремума: $[\Phi]_{640} - 1030^{\circ}$ и $[\Phi]_{427} - 12700^{\circ}$ (рис. 4). Кривая д.о.в. о.а. П в Со отличается от кривых обоих равнопарных хелатов $Co(L_3)_2$ и $Co(L_2)_2$. Полосы поглощения п.п.з. хелатов $Co(L_3)_2$ и о.а. II в Co находятся приблизительно в одной и той же области 400 мµ. Несколько неожиданные результаты были получены при сравнении кривых д.о.в. соединений II в Co, имеющих один и два асимметрических атома углерода. Различий в кривых д.о.в. между ними не обнаруживается (рис. 4). Молекулярные амплитуды эффектов Коттона п.п.з. этих хелатов в области 400 ми приблизительно равны [A] 14 000°. Это, вероятно, связано с тем, что хелатообразование проходит стереонаправленно. Сравнительно невысокий выход (~40%) хелата с неравнопарными лигандами указывает и на то, что мы выделяем комплекс той же конфигурации, что и синтезированное нами основание Шиффа Co (L₃)₂.

Была исследована устойчивость во времени растворов полученных хелатов. С этой целью снимали кривые д.о.в. DI6Cu и LIbCu непосредственно после приготовления их растворов в ДМСО, через час, через сутки и через одну неделю. Опыты показали, что кривые д.о.в. этих соединений не изменялись, т. е. диспропорционирования не наблюдали.

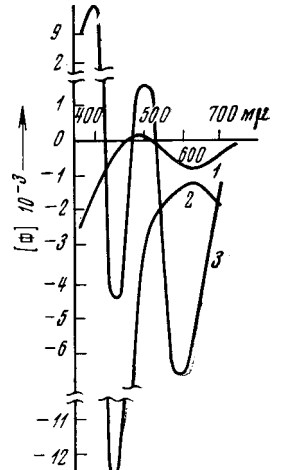


Рис. 4. Кривые д.о.в. хелатов кобальта (II) в диметилформамиде. 1— бис-(L-триптофанат)-кобальта, 2—бис-(N-этоксикарбонил)-а-(фенилэтил)-5-хлор-салицилалимин кобальта, 3— (N-этоксикарбонил)-(α-фенилэтил)-(5-салицилалимин)-(L-триптофанат)-кобальта

Аналогичные данные были получены для хелатов никеля.

Особенно интересные данные получены при исследовании стабильности выделенных хелатов к протону. Для этого к растворенным медным хелатам в ДМСО добавляли по канлям $0,1\ N$ раствор HCl, измеряли на ЛПУ-1 рН раствора и снимали кривые д.о.в. Исследование зависимости величины вращения от рН показало, что область стабильности бис-(D-тирозоната)-меди и бис-(L-триптофаната)-меди лежит выше рН 5, а для хелатов с неравнопарными лигандами простирается до рН 3,2. Такое различие в стабильности к протону хелатов равнопарных и неравнопарных лигандов может служить еще одним доказательством их индивидуальности. Хелаты L IaNi и D IaNi из водно-спиртовых растворов выделяются при рН 2, тогда как соответствующие бис-(аминокислотные)-хелаты и бис-(салицилал)-хелаты никеля осаждаются при рН 4,5—5,5. Следовательно, образованию хелатов с равнопарными лигандами предшествует промежуточная стадия — хелаты с неравнопарными лигандами.

Московский государственный университет им. М. В. Ломоносова

Поступило 29 VI 1971

ЦИТИРОВАННАЯ ЛИТЕРАТУРА

¹ В. Ф. Ануфриенко, Е. Г. Рухадзе и др., ДАН, 171, 601 (1966). ² А. П. Терентьев, Е. Г. Рухадзе, Г. В. Панова, ДАН, 155, 872 (1964). ³ Е. Г. Рухадзе, Г. П. Талызенкова и др., ЖОХ, 41, 368 (1971). ⁴ S. H. Laurie, Aust. J. Chem., 20, 2609 (1967). ⁵ Дисперсия оптического вращения и круговой дихроизм в органической химии, под ред. Снатцке, М., 1970, стр. 9. ⁶ P. Pfeiffer, W. Christelleit, J. Physiol. Chem., 245, 197 (1936). ⁷ К. Н. Wellman, W. Mungall et al., J. Am. Chem. Soc., 89, 3646 (1967). ⁸ В. Ф. Ануфриенко, Е. Г. Рухадзе, А. П. Терентьев, ДАН, 178, 1073 (1968).